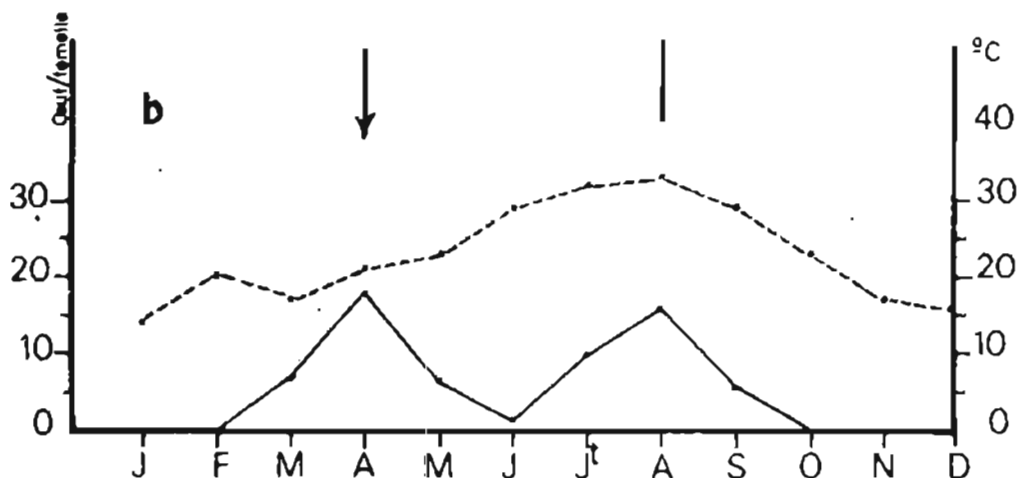
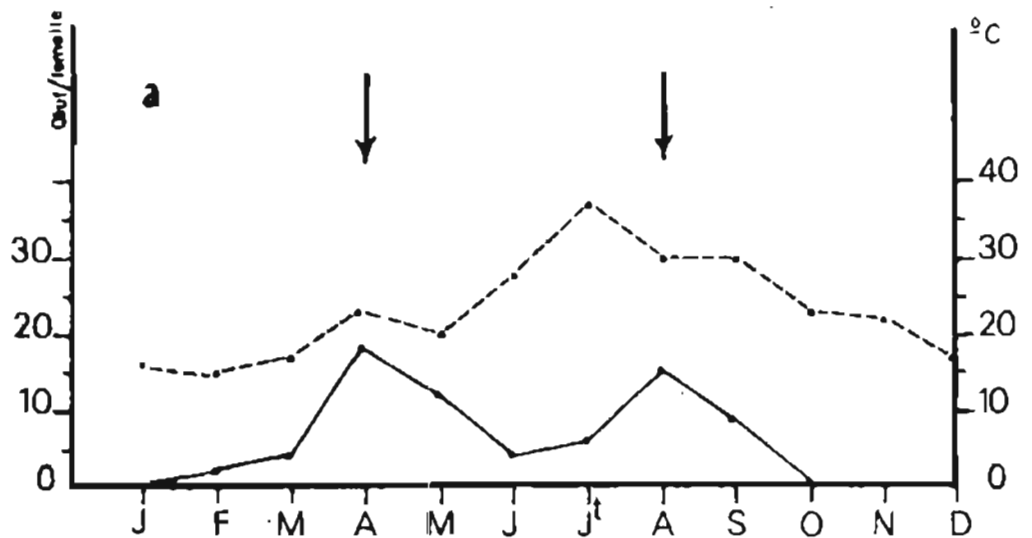


Fig. 5 : Réconditité moyenne de *P. oleae* sur *Olea europaea* suivant l'orientation en 1985.



— Fécondité moyenne mensuelle
— Température moyenne maximale

Fig. 6 : Fécondité moyenne mensuelle de *P. oleae*
suivant les saisons.

a - 1984

b - 1985

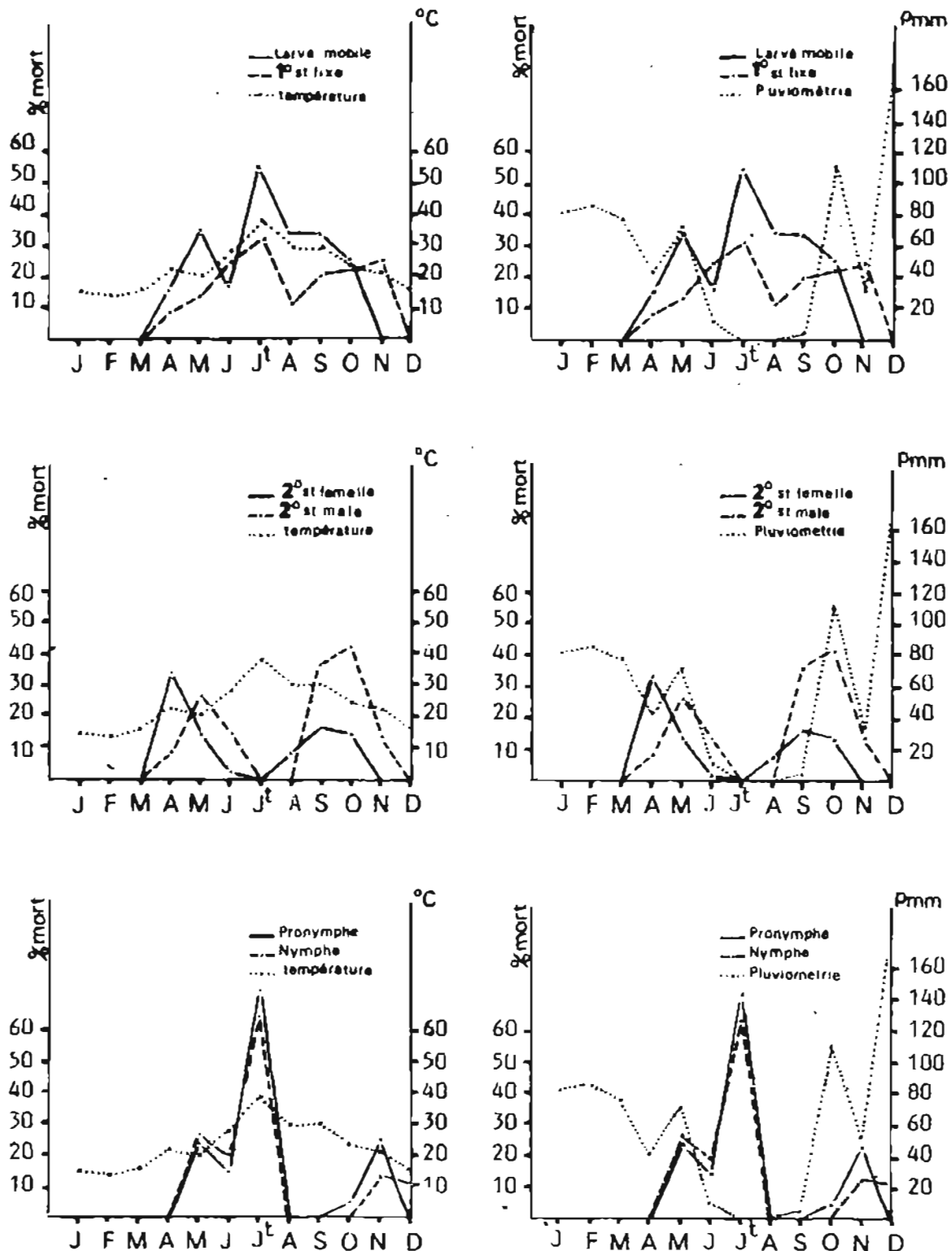
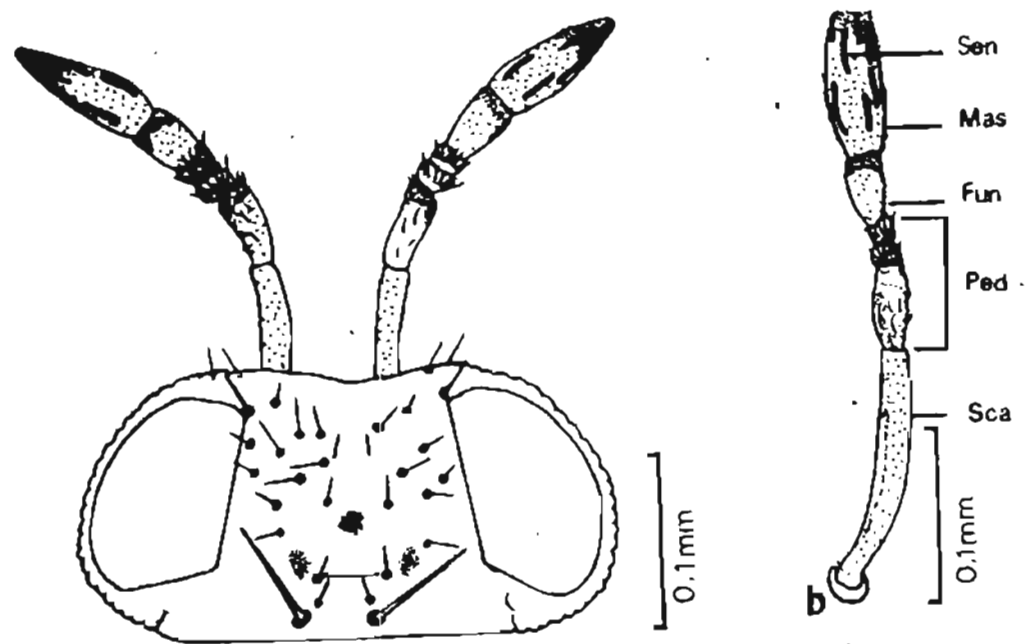


Fig. 7 : Mortalité comparée des différents stades de développement de *P. oleae* en fonction de la température et de la pluviométrie.



a

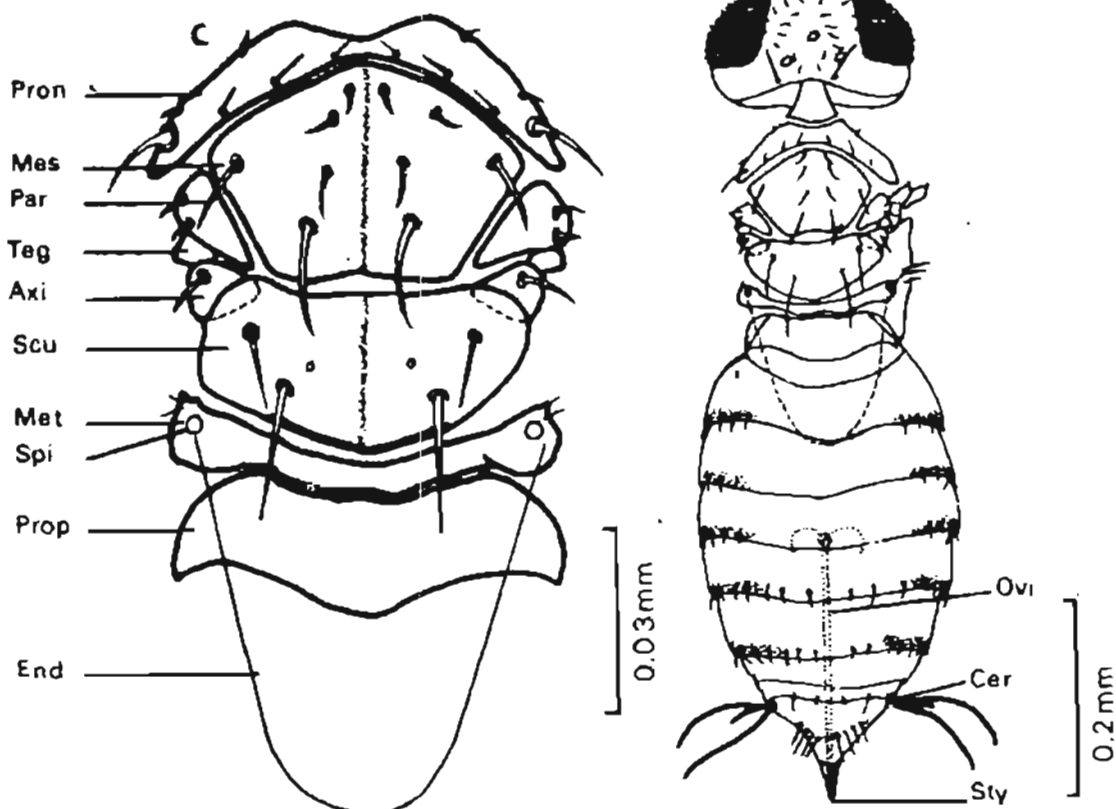


Fig. 8 : Caractéristiques morphologiques d'Aphytis maculicornis M., parasite externe de *P. oleae*.

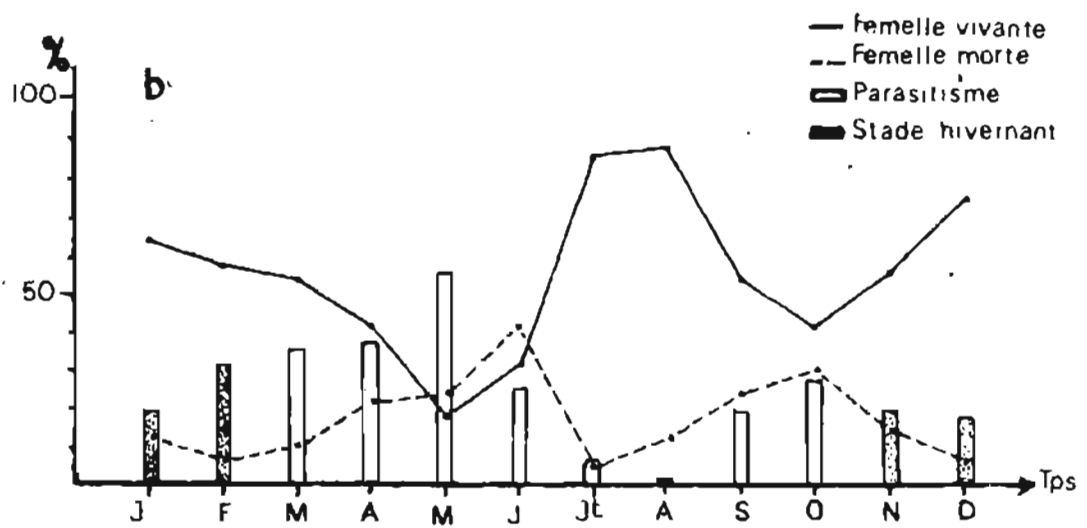
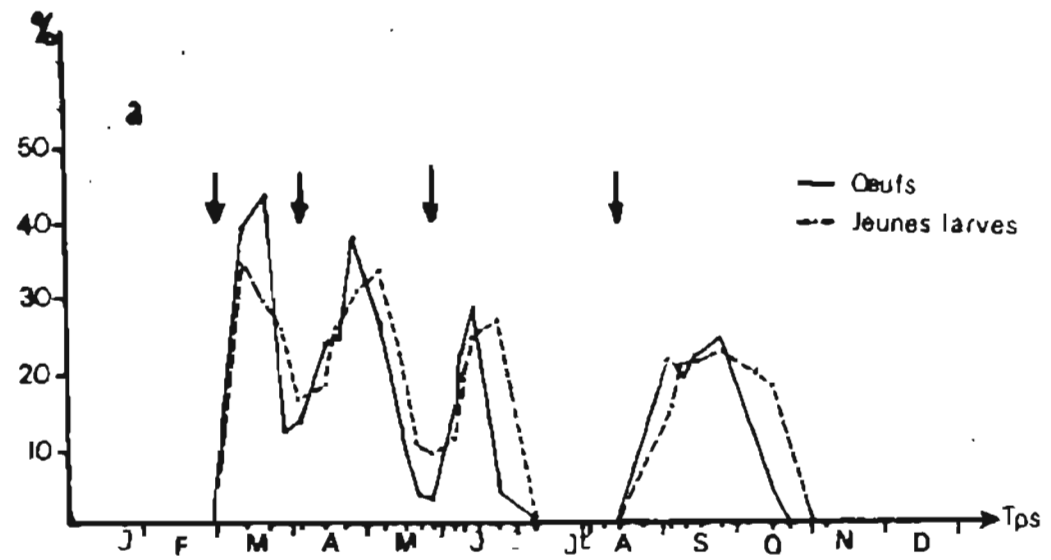


Fig. 9 a : Evolution d'*A. maculicornis*, établie d'après les variations de l'importance exprimée en pourcentage, des œufs et des jeunes larves dans la population du parasite en 1984.

b : Variation du taux de parasitisme et évolution des femelles vivantes et mortes exprimée en pourcentage durant l'année 1984.

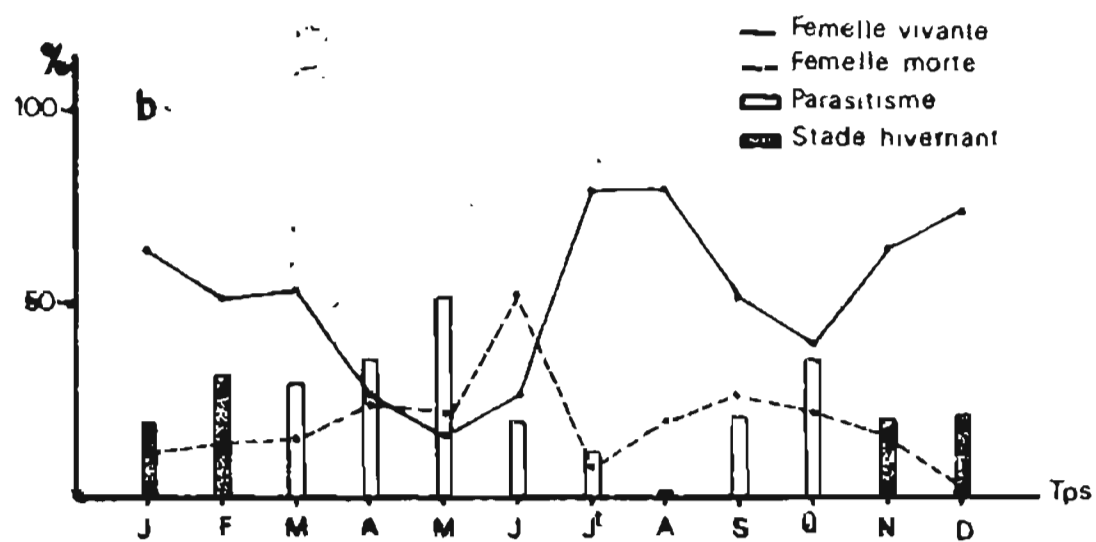
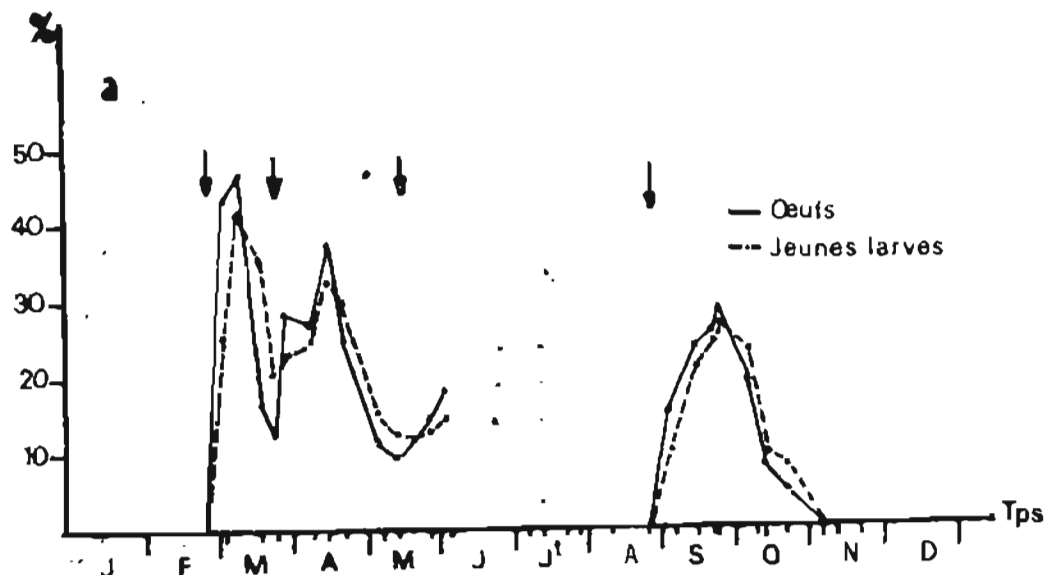


Fig. 10 a : Evolution d'*A. maculicornis*, établie d'après les variations de l'importance exprimée en pourcentage, des œufs et des jeunes larves dans la population du parasite en 1985.

b : Variation du taux de parasitisme et évolution des femelles vivantes et mortes exprimée en pourcentage durant l'année 1985.